

ПАРАМЕТРИЧЕСКОЕ УСИЛЕНИЕ РЕНТГЕНОВСКОГО ИЗЛУЧЕНИЯ В КРИСТАЛЛАХ

В.А.Буц

*Национальный научный центр «Харьковский физико-технический институт», 61108,
Харьков, Украина*

Рассматривается возможность параметрического усиления рентгеновского излучения в кристаллах. Усиление осуществляется путем создания периодической пространственно-временной неоднородности кристалла. Период этой неоднородности по порядку величины равен длине экстинкции. Найден пространственный инкремент усиления рентгеновского излучения. Показано, что неоднородность кристалла с необходимыми для усиления параметрами может быть создана лазерным излучением.

Трудности генерирования и усиления когерентного рентгеновского излучения обусловлены чрезвычайно высокой частотой этого излучения. Действительно, при реализации традиционных лазерных схем необходимо преодолеть трудность, связанную с тем, что мощность источника накачки (P), необходимая для создания инверсной населенности, быстро растет с уменьшением длины генерированного излучения ($P \sim \lambda^{-3}$) (см., например, [1,2]). Кроме того, в рентгеновском диапазоне отсутствуют резонаторы, что приводит к необходимости осуществлять однопроходные лазерные схемы. Минимальная длина волны, которая может быть возбуждена в результате индуцированных процессов излучения в приборах типа ЛСЭ, может быть оценена выражением $\lambda_{\min} \sim \sqrt{1/nD}$, где n - плотность осцилляторов; D - период ондулятора [3]. Как видно из этой оценки, даже использование ускорителей следующего поколения не позволяет индуцировано возбудить колебание в рентгеновском диапазоне. Поэтому любые альтернативные подходы к возможности усиления и генерирования рентгеновского излучения представляют значительный интерес.

В настоящей работе мы покажем, что рентгеновское излучение, которое распространяется в кристалле, может быть усилено путем периодического пространственно-временного изменения параметров кристалла. Характерный пространственный период этих изменений (L) значительно больше длины рентгеновского излучения ($L \gg \lambda$) и по порядку величины равен длине экстинкции рентгеновского излучения при его распространении в идеальном кристалле.

Основную идею предлагаемого механизма параметрического усиления можно пояснить на следующем простом примере. Рассмотрим систему, состоящую из двух связанных одинаковых линейных осцилляторов. Динамика такой системы описывается следующей системой уравнений

$$\begin{aligned} \ddot{x}_1 + x_1 &= \mu_1(t) \cdot x_2 \\ \ddot{x}_2 + x_2 &= \mu_2(t) \cdot x_1. \end{aligned} \quad (1)$$

При малых коэффициентах связи ($\mu_i \ll 1$) для определения медленно меняющихся амплитуд $a_i(t)$ колебаний маятника, для решения $x_i = a_i(t) \cdot \exp(it)$ получим следующую систему укороченных уравнений:

$$\begin{aligned} \dot{a}_1 &= \frac{1}{2i} \mu_1 \cdot a_2, \\ \dot{a}_2 &= \frac{1}{2i} \mu_2 \cdot a_1. \end{aligned} \quad (2)$$

Пусть коэффициенты связи имеют вид $\mu_i = \alpha_i + \beta_i \cdot \cos(\gamma \cdot t)$, где α_i, β_i - постоянные. Если $\beta_i = 0$, то возникает периодическая модуляция амплитуд a_i с частотой $\Omega = \sqrt{\alpha_1 \cdot \alpha_2} / 2$, т.е. энергия одного маятника перекачивается в энергию другого и обратно. При $\beta_i \neq 0$ система уравнений (2) эквивалентна уравнению Хилла. При этом возможен рост амплитуды взаимодействующих осцилляторов. Отметим, что из системы (2), в частности, следует

$$d(a_1^2) = \frac{\mu_1}{\mu_2} d(a_2^2). \quad (3)$$

Из (3) следует, что если $(\mu_1/\mu_2) = const$, то система (2) имеет интеграл

$$a_1^2 - (\mu_1/\mu_2) a_2^2 = const \quad (4)$$

При выполнении (4) система (2) имеет решение в элементарных функциях. Усиление при этом отсутствует. Из (3) также следует, что в первом приближении по параметру β_i/α_i существует интеграл (4), если $\beta_1/\alpha_1 \rightarrow \beta_2/\alpha_2$. Чем больше различие в величинах β_1/α_1 и β_2/α_2 , тем большим будет инкремент параметрического усиления. Пусть для определенности $\beta_1/\alpha_1 \gg \beta_2/\alpha_2$ и выполнено условие параметрического резонанса: $\gamma = 2\Omega$. Тогда, воспользовавшись теорией возму-

щения, найдем, что амплитуды связанных осцилляторов экспоненциально увеличиваются

$$a_1 \sim a_2 \sim \exp(\Phi t), \quad (5)$$

где $\Phi = (\beta_1/2 \cdot \alpha_1)$.

Для иллюстрации сказанного на рис. 1-2 представлены результаты численного расчета системы уравнений (1). На рис.1 представлен случай, когда система (1) имеет интеграл (4) и полностью интегрируется. На рис.2 - случай, когда интеграл (4) отсутствует. Видно, что в этом случае имеется экспоненциальный рост амплитуд колебаний взаимодействующих осцилляторов. На этих рисунках $Z^{<1>} \equiv \dot{x}_1$.

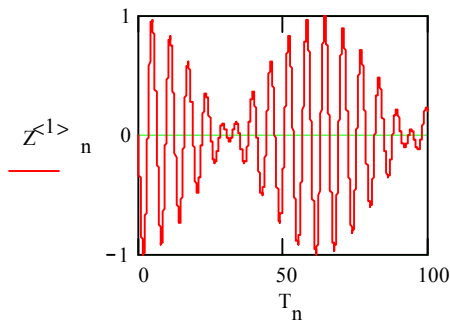


Рис. 1. $\alpha_1 = \alpha_2 = 0.1$, $\beta_1 = \beta_2 = 0.01$, $\gamma = 0.1$

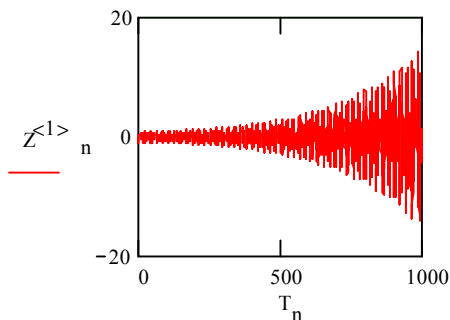


Рис. 2. $\alpha_1 = \alpha_2 = 0.3$, $\beta_1 = 0.03$, $\beta_2 = 0.001$, $\gamma = 0.3$

Поясним теперь механизм усиления рентгеновского излучения в кристаллах. При распространении излучения в однородном, идеальном, без затухания кристалле структура поля меняется. Можно выделить две наиболее важные стороны этих изменений. Прежде всего, появляется серия виртуальных волн с волновыми векторами $\vec{k}_n = \vec{k}_0 + n\vec{\kappa}$, где \vec{k}_0 - волновой вектор первичной волны, $\vec{\kappa}$ - вектор обратной решетки. Амплитуды виртуальных волн малы $E_n \sim q^n \cdot E_0$, где q - степень периодической неоднородности кристалла. С той из виртуальных волн, фазовая скорость которой меньше скорости света, возможно взаимодействие заряженных частиц. На этой особенности поля в кристалле основано параметрическое черенковское излучение [4], или, как его часто называют, параметрическое рент-

геновское излучение (см., например, [5,6]). Вторая особенность связана с динамической дифракцией рентгеновского излучения в идеальных кристаллах, и которая приводит в схеме дифракции Лауэ к периодической модуляции амплитуд, взаимодействующих в кристалле первичной волны с волновым вектором \vec{k}_0 и ее минус первым порядком дифракции с волновым вектором $\vec{k}_1 = \vec{k}_0 - \vec{\kappa}$ ($|k_1|^2 = |k_0|^2$). Модуляция амплитуды поля в идеальном кристалле для полностью когерентного излучения является полной. Пространственный период модуляции (длина экстинкции) по порядку величины равна $L_{ext} \sim \lambda / q$. Таким образом, при распространении в кристалле рентгеновское излучение приобретает некоторую новую пространственную характеристику. Такая особенность излучения в периодически неоднородных средах, в частности, в кристаллах, была использована в работе [7] для осуществления квазичеренковского взаимодействия заряженных частиц с полем. Кроме того, можно ожидать, что если свойства кристалла будут периодически меняться с неким характерным пространственным периодом, близким к периоду изменения рентгеновского излучения (L_{ext}), то эти изменения могут существенно изменить свойства излучения, в частности, привести к параметрическому усилению этого излучения. Ниже мы покажем, что действительно такая возможность имеется. Необходимая для усиления излучения длинноволновая периодическая неоднородность в кристалле может быть создана, например, с помощью лазерного излучения. Таким образом, в кристалле рентгеновское и лазерное излучение могут эффективно взаимодействовать.

Пусть кристалл занимает нижнее полупространство $z > 0$ и может быть описан следующей восприимчивостью:

$$\chi = \chi_0 + q \cos(\vec{\kappa} \cdot \vec{r}) + q_1 \cos(\mathbf{K} \cdot \mathbf{z} - \Omega t). \quad (6)$$

Здесь $\vec{\kappa}$ - вектор обратной решетки кристалла; $q \sim \chi_0 \gg q_1$ - степень пространственно-временной периодической неоднородности, созданной внешним источником; $\mathbf{K} \ll |\mathbf{k}|$.

Ограничимся рамками двухволновой динамической теории дифракции. Тогда поле в кристалле можно искать в виде

$$\vec{E} = \sum_{j=0}^1 A_j(\vec{r}, t) \cdot \exp(-i\vec{k}_j \cdot \vec{r} + i\omega t), \quad (7)$$

где $\vec{k}_1 = \vec{k}_0 + \vec{\kappa}$; $k_1^2 = k_0^2 = \omega^2 / c^2$.

Будем считать, что радиус падающего на кристалл первичного пучка излучения бесконечен и $\Omega \ll \omega$. Тогда изменения амплитуд взаимодействующих волн зависят только от времени и от z . Из уравнений Максвелла легко получить укороченные уравнения, описывающие динамику изменения этих амплитуд. В безразмерных переменных

$\tau = \Omega t; z = k_0 z = \omega z / c$ эти уравнения можно записать в виде

$$\begin{aligned} \alpha_0 \frac{\partial A_0}{\partial z} + \mu \frac{\partial A_0}{\partial \tau} &= \frac{1}{2i} (Q \cdot A_0 + \frac{q}{2} A_1), \\ \alpha_1 \frac{\partial A_1}{\partial z} + \mu \frac{\partial A_1}{\partial \tau} &= \frac{1}{2i} [(Q + 2\delta) A_1 + \frac{q}{2} A_0], \end{aligned} \quad (8)$$

где $\mu \equiv \frac{\Omega}{\omega} \sim q; \quad Q \equiv \chi_0 + q_1 \cdot \cos(Kz - \tau),$

$$\alpha_i \equiv \frac{k_{iz}}{k_0} = \cos \theta_i, \quad k_0^2 - k_1^2 = 2\delta \cdot k_0^2.$$

Если в системе уравнений (8) положить $\mu = q_1 = 0$, то эта система переходит в известную, которая имеет маятниковые решения. Решения системы (8) при $\mu \neq 0, q_1 \neq 0$ будем искать в виде

$$A_j = \sum a_{j,n} \exp(in\tau); \quad j = (0;1) \quad (9)$$

Тогда для нахождения компонент Фурье $a_{j,n}$ можно получить следующую систему уравнений второго порядка:

$$v_n'' + \lambda_n^2 \cdot v_n = q_1 \cdot F \quad (10)$$

Здесь $a_{0,n} = v_n \exp(-iR_n z / 2); v_n' = dv_n / dz;$

$$\lambda_n^2 \equiv (B_n + \frac{1}{4} R_n^2);$$

$$F \equiv \frac{1}{2} \left\{ [C_n^+ - iD \frac{1}{2} \cdot R_{n+1}] v_{n+1} \cdot \right.$$

$$\cdot \exp(iK \cdot z - iR_{n+1} / 2) +$$

$$+ \left[C_n^- - \frac{1}{2} DR_{n-1} \right] v_{n-1} \exp(-iK \cdot z - iR_{n-1} \cdot z / 2) \cdot$$

$$\cdot \exp(iR_n z / 2);$$

$$R_n \equiv \frac{1}{2} \left(\frac{\chi_0}{\alpha_0} + \frac{\chi_0 + 2\delta}{\alpha_1} \right) + n\mu \left(\frac{1}{\alpha_0} + \frac{1}{\alpha_1} \right);$$

$$D \equiv -\frac{i}{2\alpha_1} \left(1 + \frac{1}{\alpha_0} \right);$$

$$B_n = \frac{1}{4\alpha_0\alpha_1} \left[\left(\frac{q^2}{n} - \chi_0(\chi_0 + \delta) \right) - \right. \\ \left. - 2n\mu(\chi_0 + 2n\mu + (\chi_0 + 2\delta)) \right];$$

$$C_n^\tau = \pm \frac{K}{2\alpha_0^2} + \frac{n\mu}{2\alpha_0^2\alpha_1} + \frac{(\chi_0 + 2\delta)}{4\alpha_0^2\alpha_1} +$$

$$+ \frac{1}{2\alpha_1} \left(\frac{\chi_0}{2\alpha_0} + \frac{(n \pm 1)\mu}{\alpha_0} \right).$$

Амплитуды Фурье $a_{1,n}$ определяются через $a_{0,n}$ выражениями:

$$a_{1,n} = \frac{4 \cdot i}{q} \left\{ \begin{aligned} &\alpha_0 \frac{\partial a_{0,n}}{\partial z} + i n \mu a_{0,n} - \frac{\chi_0 \cdot a_{0,n}}{2i} \\ &-\frac{q_1}{4i} \left[a_{0,n+1} \exp(iK \cdot z) + \right. \\ &\left. + a_{0,n-1} \exp(-iK \cdot z) \right] \end{aligned} \right\}. \quad (11)$$

Учитывая, что $\lambda_n \sim q \sim \chi_0 \gg q_1$, решение системы (10) будем искать в виде

$$v_n = w_n(z) \exp(i\lambda_n z) + \zeta_n(z) \exp(-i\lambda_n z), \quad (12)$$

где w_n, ζ_n - медленно меняющиеся функции, изменения которых обусловлены наличием пространственно-временной модуляцией восприимчивости кристалла.

Особенно сильное изменение функций будет происходить при таких параметрах системы, когда будет выполнено одно из следующих резонансных условий

$$K - (\lambda_{n+1} + \lambda_n) - \frac{1}{2}(R_{n+1} - R_n) = 0. \quad (13)$$

Если, например, условие (13) выполнено при $n = 0$, эффективно связанными оказываются функции w_0 и ζ_1 , а для отыскания w_0 получим следующее уравнение:

$$w_0'' - \Gamma^2 w_0 = 0, \quad (14)$$

где

$$\Gamma^2 = \frac{q_1^2}{16\lambda_0\lambda_1} \left\{ \left[C_0^+ - \frac{1}{2} D \cdot R_1 \right] \left[C_0^- - \frac{i}{2} DR_0 \right] \right\}.$$

Если выполнено условие $\text{Re} \Gamma \neq 0$, то функции w_0, ζ_1 , а вместе с ними $a_{0,0}; a_{0,1}$ и амплитуды A_0, A_1 будут экспоненциально нарастать с ростом координаты z . Инкремент пространственного усиления пропорционален степени неоднородности q_1 , и в общем случае выражение для него громоздкое. Его вычисление следует проводить для конкретных значений параметров.

Чтобы получить представление о различных возможностях и о характерных величинах, рассмотрим наиболее простой частный случай. Пусть $\chi_0 = \delta = 0$ и $\alpha_0 = \alpha_1 \equiv \alpha$, т.е. имеем симметричную схему дифракции Лауэ. Учтем также резонансное условие (13): $K = (\lambda_0 + \lambda_1) + \mu / \alpha$. В этом случае находим

$$\Gamma = \frac{q_1}{8\alpha \sqrt{\lambda_0 \cdot \lambda_1}} \left[(\lambda_0 - \lambda_1) - \frac{\mu}{\alpha} \right]. \quad (15)$$

Мы видим, что происходит экспоненциальное усиление амплитуд как первичного рентгеновского излучения, так и минус первого порядка дифракции. С учетом условий на границе ($A_1(z=0) = 0$) решения для w_0, ζ_1 можно записать в виде

$$w_0 = \exp(\Gamma z),$$

$$\zeta_1 = i \cdot \sqrt{\frac{\lambda_0}{\lambda_1}} \cdot (\exp(\Gamma z) - 1). \quad (16)$$

Используя (15), можно получить формулы, описывающие эволюцию амплитуды первичного пучка при его распространении в кристалле. Если его амплитуда на поверхности кристалла нормирована на единицу ($A_0(z=0) = 1$), то это выражение приобретает вид

$$A_0 = \exp\left[i\left(\lambda_0\right)z\right] \cdot \exp(\Gamma z) + i \cdot \sqrt{\lambda_0/\lambda_1} \cdot \exp\left[-i\left(\lambda_1 + R_1/2\right)z\right] \cdot (\exp(\Gamma z) - 1) \cdot \exp(i\tau) \quad (17)$$

Таким образом, на расстоянии, составляющем несколько длин экстинкции, интенсивность первичного пучка может существенно увеличиться. Особый интерес представляет возможность усиления нулевых колебаний вакуума. В этом случае на выходе из кристалла интенсивность рентгеновского излучения будет равна

$$I = I_0 \cdot (\exp(2\Gamma L) - 1), \quad (18)$$

где L – толщина кристалла; I_0 – спектральная плотность вакуумных флуктуаций.

Минус единица в скобках обусловлена тем фактом, что из-за ненаблюдаемости нулевых колебаний, которые играют роль фонового начала отсчета и которые присутствуют как на входной грани кристалла, так и на выходной, их интенсивность на выходе кристалла нужно вычесть. Так как величина I_0 чрезвычайно велика, то даже при $\Gamma L \ll 1$ интенсивность рентгеновского излучения на выходе из кристалла может быть большой.

Возникает вопрос о способах создания пространственно-временного периодического возмущения с нужными для усиления параметрами. Проще всего, по-видимому, такая неоднородность может быть создана с помощью двух лазерных пучков по схеме, аналогичной схеме «beat-wave». В настоящее время для возбуждения продольных ленгмюровских волн в плазме эта схема хорошо изучена не только теоретически, но и в экспериментах (см., например, [8-11]). В этой схеме (см. рис.3) параметры Ω и K

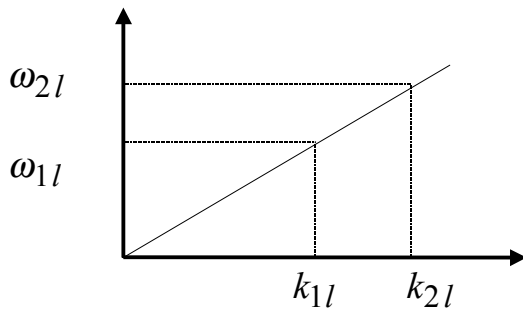


Рис. 3.

равны $\Omega = \omega_{l2} - \omega_{l1} \equiv \Delta\omega_l$, $K = k_{l2} - k_{l1}$, где ω_{li} - и k_{li} - частота и волновой вектор i -го пучка

лазерного излучения, которое распространяется вдоль оси z .

Пусть мы хотим реализовать случай усиления, описанный выше. Для этого нам необходимо удовлетворить условию резонанса (8). Этому условию легко удовлетворить. Действительно, перепишем выражение для μ в виде

$$\mu = (\Omega/\omega) = (\Delta\omega_l/\omega_l) \cdot (\omega_l/\omega). \quad (19)$$

Из этого выражения следует, что при $(\Delta\omega_l/\omega_l) \sim 10^{-3}$ и при $(\omega_l/\omega) \sim 10^{-3}$ (что легко достигается)

$\mu \sim q \sim 10^{-6}$. Для плазменной волны твердого тела условия резонанса (8) означают, что ее фазовая скорость должна удовлетворять условию

$$V_f = c / \left[(1/\alpha) + (\lambda_0 + \lambda_1) / \mu \right] < c$$

В частности, если $q/4\mu \sim 1$, то $V_f \approx c \cdot \alpha / 2$.

Если считать $V_f = c / \sqrt{\epsilon}$, то диэлектрическая проницаемость кристалла для лазерного излучения должна быть порядка $\epsilon \sim 4\alpha^{-2}$. Аналогичные оценки можно провести и для других конкретных случаев. Все они показывают принципиальную реализуемость предлагаемой схемы создания пространственно-периодической неоднородности в кристалле и, как результат, реализуемость предлагаемого механизма усиления рентгеновского излучения в кристаллах.

В заключение отметим, что рассмотренный нами механизм усиления высокочастотного (рентгеновского) сигнала низкочастотным (волной плотности) является примером использования вторичных резонансов в гамильтоновой механике. Обычно в резонансной теории возмущений вторичные резонансы учитывают в том случае, когда амплитуды возмущений достаточно большие (см., например, [12]). Однако, если возмущение изначально содержит низкочастотную компоненту, как в нашем случае, то вторичные резонансы оказываются существенными и при малых амплитудах возмущения.

Работа выполнена при поддержке УНТЦ, проект № 855.

ЛИТЕРАТУРА

1. Р.Элтон. Рентгеновские лазеры, М.: «Мир», 1994.
2. А.В.Виноградов, И.И.Собельман // ЖЭТФ. Т.63, вып. 6, с. 2113-2120, 1972.
3. В.И.Курилко, Ю.В.Ткач // УФН. 1995,165, № 3.
4. Я.Б.Файнберг, Н.А.Хижняк // ЖЭТФ. Т.32, с. 883,1957.
5. М.Л.Тер-Микаэлян. Влияние среды на электромагнитные процессы при высоких энергиях, Ереван: Изд-во АН Арм. ССР, 1969.
6. В.Л.Гинзбург, В.Н.Цытович. Переходное излучение и переходное рассеяние. М.: «Наука», 1984.
7. В.А. Буц, // Известия вузов. Радиофизика. 1983, т. 26, №8, с. 996-1003.
8. M.N. Rosenbluth, C.S. Lin. // Phys. Rev. Lett. 1972,v. 29, N 11, p. 3023.
9. V.K Tripathi, C.S. Lin, // Phys. Fluids. B (Plasma Physics) 1991, vol. 3, N 2, p. 468.
10. M. Deutsch, B. Meerson, J.E. Golub. // Phys. Fluids. B (Plasma Physics) 1991, vol. 3, N 7, p. 1773.
11. C.E. Clayton, C. Joshi, C. Darrow, D. Umatadler // Phys. Rev. Lett. 1985, vol. 54, N 21, p. 2343.
12. A. J. Lichtenberg, M. A. Lieberman. // Regular and Stochastic Motion, Springer- Verlag New-York,1983.